Результаты работы целесообразно использовать при разработке перспективных ККС в специальных информационно-телекоммуникационных системах.

Литература: 1. Bennett C. H., Bessette F., Brassard G., Savalle L. and SmolinJ., Experimental Quantum Cryptography, Proceedings of Eurocrypt '90, also in Journal of Cryptology, Vol. 5, No. 1 (1992).-P. 3-28. 2. Huges R. G., Buttler W. T., Kwiat P. G., Luiher G. G., Morgan G. I., Nordholt J. E., Peterson C. G., Simmsons C. M. Secure communications using quantum cryptography. — Los Alamos National Laboratory. LA-UR-97-1099.3. Townsend P., 1997b, Quantum cryptography on multiuser optical fiber networks, Nature (London) 385.-P. 47—49. 4. Shannon C. A mathematical theory of communication // Bell Syst.Tech. J. — 1948. — Vol. 27. — P. 379—423. 5. Maurer U. "Secret Key Agreement by Public Discussion Based on Common Information" // IEEE Trans. on IT., Vol. 39, May 1993, pp. 733 — 742. 6. Седельников В. М. Алгоритм выработки общего ключа с использованием квантового канала // Проблемы передачи информации Т.35, №1, 1999.—С.100-109. 7. В. Н. Вервейко, А. И. Пушкарев, Т. В. Цепурит. Функции хэширования: классификация, характеристика и сравнительный анализ//Радиотехника: Всеукр.межвед.науч.-техн.. сб. 2002. Вып. 126 С172-179. 8. Веггои С., Glavieux А. Near optimum error correcting coding and decoding: turbo-codes // IEEE Trans. on Commun. — 1996. — Vol.44, №10. — Р. 1261-1271. 9. Банкет В. Л., Прокопов С. Д. Эффективность применения турбо-кодов в телекоммуникационных системах // Наукові праці УДАЗ ім. О. С. Попова. — 2000. — №3. — с. 36-41.

УДК 681.3

ПРИМЕНЕНИЕ ТУРБОКОДОВ В СПЕЦИАЛЬНЫХ ТЕЛЕКОММУНИКАЦИОННЫХ СИСТЕМАХ

Сергей Зайцев, Сергей Ливенцев, Дмитрий Алексеев Специальный факультет СБ Украины ВИТИ НТУУ «КПИ»

Аннотация: Рассмотрены вопросы применения турбокодов в специальных телекоммуникационных системах. Указаны основные принципы построения турбокодов и их характеристики. Summery: There are considered problems of turbocode using in special telecommunication systems in the article. There are showed basic principles of turbocode building and they characteristics. Ключевые слова: Помехоустойчивое кодирование, турбокоды, итеративное декодирование.

І Введение

Одним из перспективных направлений совершенствования характеристик специальных телекоммуникационных систем является применение корректирующих кодов. В настоящее время широкое распространение в телекоммуникационных системах получил класс помехоустойчивых кодов — турбокоды. Однако в существующей литературе описанию характеристик и способов построения составных кодов уделено не достаточно внимания. **Целью работы** является рассмотрение структуры построения турбокодов и их основных характеристик.

Турбокоды используются в качестве метода канального кодирования [1, 2] в системах передачи телеметрической информации с космических аппаратов по рекомендации CCSDS (Consultative Committee for Space Data Systems), системах подвижной радиосвязи третьего поколения UMTS (Universal Mobile Telecommunications System) и cdma2000, системах цифрового телевизионного вещания стандарта DVB-RCS (Digital Video Broadcasting Return Channel for Satellite), спутниковых модемах с повышенной энергетической эффективностью SDM-300a, CDM-550.

II Постановка задачи

Задачей, решаемой в работе, является описание характеристик составных элементов турбокодов. Для решения поставленной задачи рассмотрим основы теории построения компонентных кодов. Турбокод образуется при параллельном каскадировании двух или более свёрточных кодов, называемых компонентными, разделённых перемежителем. В связи с этим турбокоды иногда называют параллельными каскадными свёрточными кодами. Если в роли компонентных кодов используются стандартные блоковые коды – коды Хэмминга, БЧХ либо Рида-Соломона – то такие коды называют параллельными каскадными блоковыми кодами [2, 3, 4].

В турбокодах используются следующие положения теории кодирования [1 – 3]:

1 длинные коды с шумоподобной структурой обеспечивают предельно достижимую пропускную

способность канала;

- 2 эффективное применение алгоритмов вероятностного декодирования с использованием априорных вероятностей декодируемых символов на входе декодера и формированием решений о каждом декодированном символе с оценкой степени надежности этого решения (декодирование с "мягким выходом");
- 3 каскадная структура кода позволяет существенно упростить процедуру кодирования и декодирования;
- 4 конструктивный путь построения декодера длинного кода итеративное декодирование (многократное использование одного декодера).

Ш Кодер турбокода

Структурная схема кодера обобщённого турбокода приведена на рис. 1. В процессе кодирования информационная последовательность U разбивается на блоки символов длины N. После этого сформированная последовательность поступает на систематический выход кодера y^1 , а также параллельно на k ветвей, состоящих из последовательного соединения устройства перемежения и компонентного кодера [1].

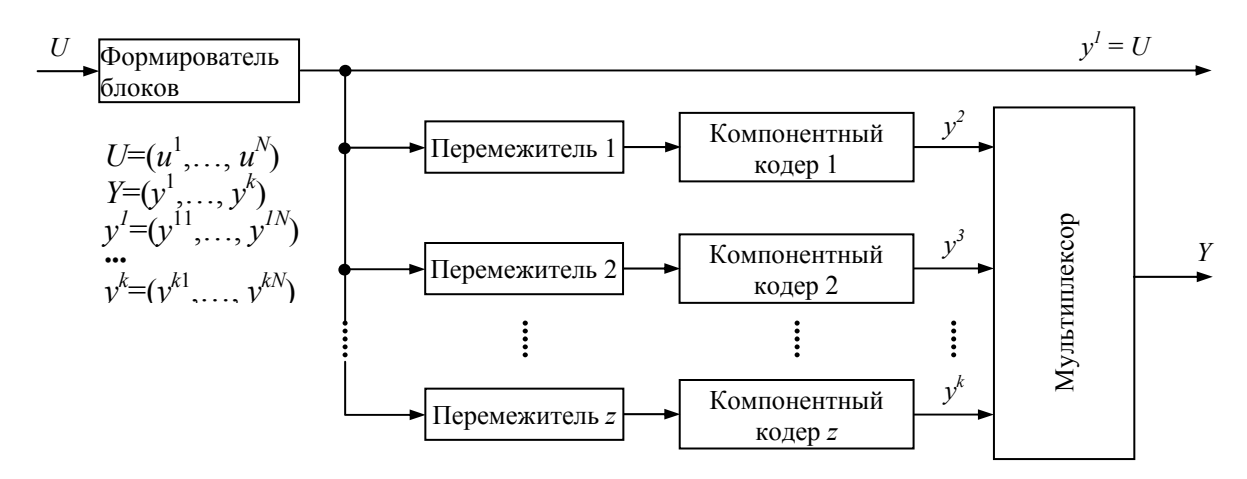


Рисунок 1 – Структурная схема кодера обобщённого турбокода

Кроме рассмотренной структуры существует последовательная и гибридная (последовательно-параллельная) структура построения турбокода [4].

На рис. 2 показан пример кодера турбокода [3-5]. Этот турбокод включает два рекурсивных систематических сверточных кода (RSC). Первый составной кодер работает непосредственно с информационной последовательностью бит $U=(u^l,...,u^N)$ длиной N, производя две выходные последовательности y^l и y^2 . Второй составной кодер оперирует с переставленной последовательностью информационных бит y^3 , произведенную перемежителем длиной N. Переключатель делает скорость кодирования всего кода равной 1/2. Без переключателя скорость кодирования будет равна 1/3 (1/(k+1)).

Перемежитель – устройство, обеспечивающее перестановку позиций информационных бит исходной последовательности.

Перемежитель должен выполнять следующие задачи [6]:

- 1 чередование бит сообщения перед передачей и обратную операцию после приема, что приводит к рассеиванию пакета ошибок во времени: в результате они становятся для декодера случайно распределенными, поэтому турбокод с большим размером блока можно характеризовать как длинный случайный код;
- 2 преобразование входной информационной последовательности таким образом, чтобы комбинации, приводящие к кодовым словам с низким весом на выходе первого компонентного кодера, были преобразованы в комбинации, порождающие кодовые слова с высоким весом на выходе остальных кодеров, тем самым, обеспечивая небольшое число кодовых слов малого веса результирующего турбохода;
 - 3 минимизирует корреляцию между внешними входами декодера.

Существует две категории устройств перемежения (рис. 3) – регулярные и псевдослучайные [6-8].

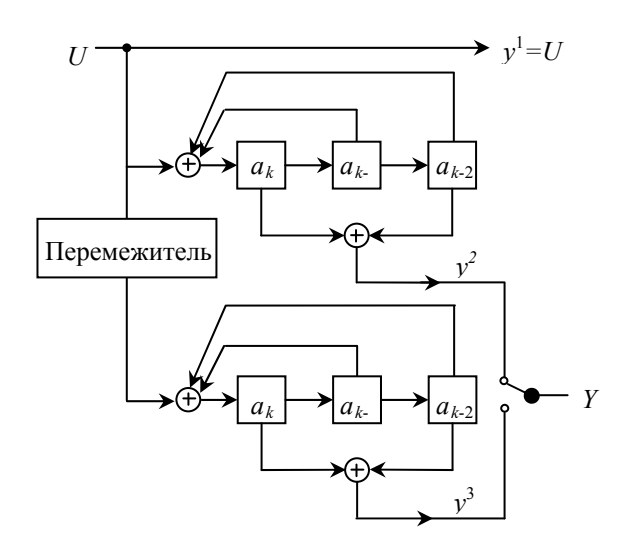


Рисунок 2 – Схема параллельного соединения двух *RSC*-кодеров

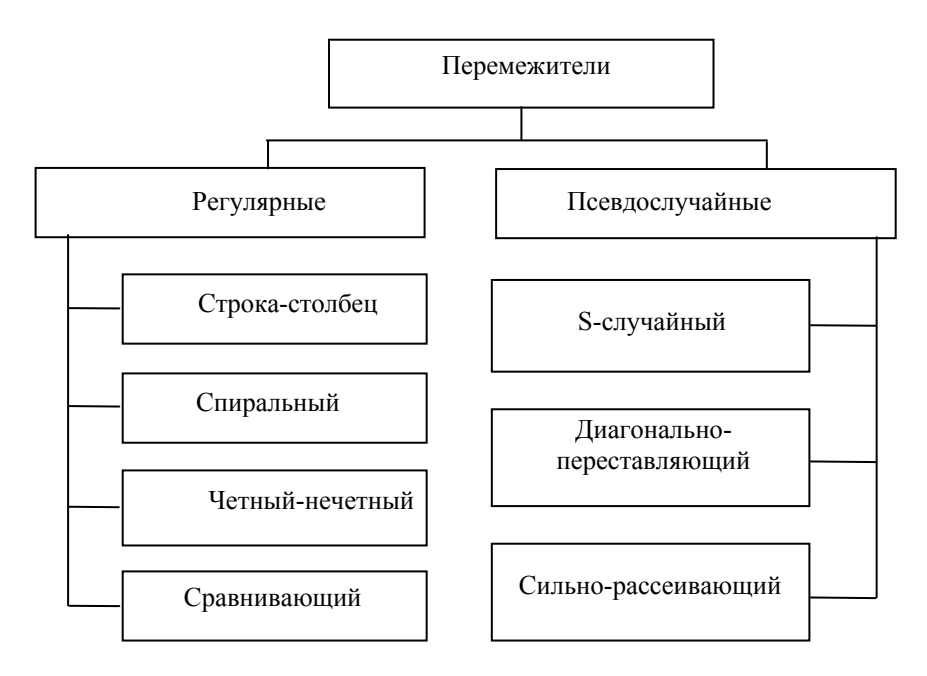


Рисунок 3 – Классификация устройств перемежения

К регулярным относятся такие устройства перемежения, метод формирования которых можно описать формулой либо строгой закономерностью.

Псевдослучайный перемежитель — это устройство, которое осуществляет перестановку символов внутри блока по псевдослучайному закону и формируется с помощью датчика псевдослучайных чисел. Обычно таблица перемежения такого устройства целиком сохраняется в памяти кодера и декодера.

IV Декодирование турбокодов

Одной из главных особенностей декодирования турбокодов является использование принципа итеративного декодирования. Структурная схема декодера турбокода со скоростью R=1/3, который состоит из двух элементарных декодеров, двух перемежителей и двух деперемежителей, приведена на рис. 4, где X^{C1} , X^{I12} , X^{I13} соответственно систематические и проверочные символы [2].

После выполнения определенного числа итераций декодер 2 выносит решение (с учетом операций деперемежения) о декодированных символах. Важная особенность заключается в том, что информация о каждом декодированном символе, который производится декодером и поступает на вход следующего

декодера, поддается перестановке. Поэтому она оказывается некореллированной с «мягкими канальными символами» на входе декодера и может быть использована в качестве априорной.

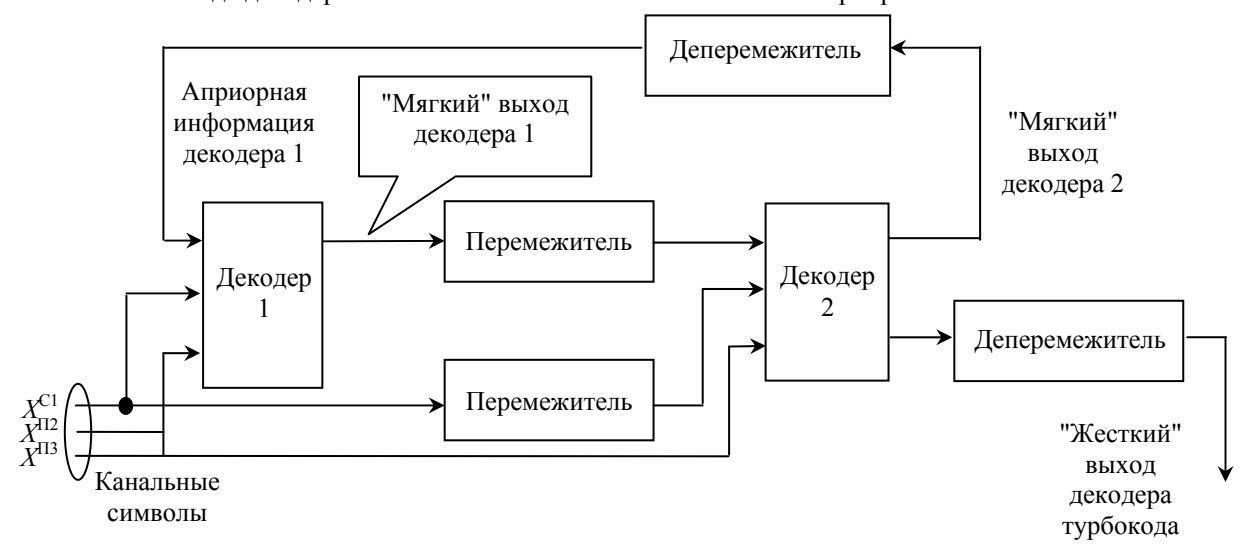


Рисунок 4 – Структурная схема декодера турбокода со скоростью R=1/3

V Алгоритмы декодирования турбокодов

Высокая исправляющая способность турбокодов обусловлена разработанными для них эффективными алгоритмами декодирования. При декодировании турбокодов используются алгоритмы с "мягким" входом и "мягким" выходом (SISO алгоритмы). Данные алгоритмы можно разделить на два типа: первые происходят от оптимального алгоритма по максимуму апостериорной вероятности MAP (max-log-MAP, log-MAP), которые минимизируют вероятность ошибочного символа, вторые — от алгоритма Витерби, который минимизирует вероятность ошибочной последовательности символов (SOVA алгоритм).

Основным преобразованием над алгоритмом MAP является логарифмирование, поэтому алгоритм MAP более сложен в вычислении, чем алгоритм Витерби.

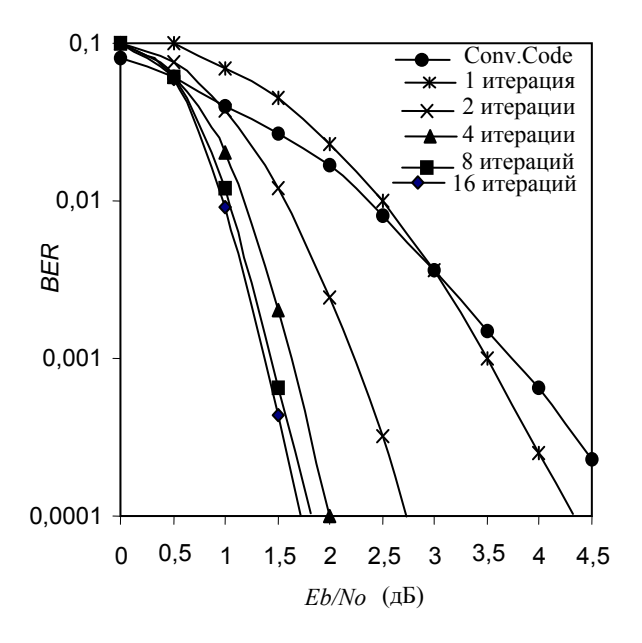
Max-log-MAP алгоритм основан на некоторых преобразованиях над оптимальным алгоритмом MAP и использовании аппроксимации. Основными преобразованиями над алгоритмом MAP является логарифмирование и аппроксимация.

Аппроксимация существенно ухудшает помехоустойчивость декодера max-log-MAP по сравнению с декодером MAP. Для улучшения алгоритма max-log-MAP предложено использовать логарифм Якобиана для более точного вычисления, т. е. максимизация дополнена корректирующим термином. Это значит, что log-MAP алгоритм немного сложнее, чем max-log-MAP, но дает точно такие значения, как MAP алгоритм. Поэтому данный алгоритм является более привлекательным при использовании в итеративном турбо декодере.

Основной задачей разработчиков алгоритма SOVA была модификация классического алгоритма Витерби таким образом, чтобы кроме жёстких (двухуровневых) решений о декодированных символах он позволял определять надёжности этих решений, а также использовать априорную "информацию" при поиске выжившего пути.

Характеристики помехоустойчивости турбокода [9 – 11].

Основные характеристики помехоустойчивости турбокодов определяются компьютерным моделированием с использованием основных алгоритмов декодирования, так как в настоящее время адекватного математического аппарата, описывающего характеристики турбокодов, в достаточной мере не разработано.



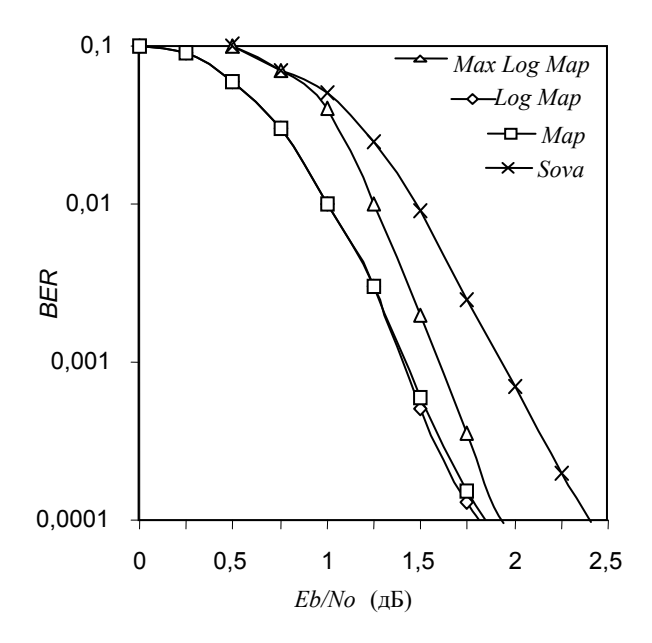


Рисунок 5 – Зависимость характеристик турбокода от количества итераций

Рисунок 6 – Зависимость характеристик турбокода от алгоритма декодирования

На рис. 5 показано влияние количества итераций на характеристики турбокода, то есть зависимость частоты ошибки бита (BER) как функции соотношения энергии сигнала к спектральной плотности мощности шума (E_b/N_0), при использовании алгоритма декодирования MAP по сравнению с нерекурсивным сверточным кодом (conv. code -2, 1, 3). Анализ показывает (табл. 1), что после первой итерации, при малых значениях E_b/N_0 , характеристики турбокода и сверточного кода одинаковы. При увеличении количества итераций L характеристики турбокода улучшаются, однако при L>8 улучшение незначительное (S<0,1 дБ), где S — разность значений E_b/N_0 при $BER=10^{-4}$ между турбокодом и сверточным кодом.

Таблица 1 – Характеристики декодирования корректирующих кодов

Two many T Tapantopho Than Advocate o Samur Roppe Ring To Equit Rodos					
Количество итераций	E_b/N_0 при $BER = 10^{-4}$	E_b/N_0 при $BER = 10^{-3}$	E_b/N_0 при $BER = 10^{-2}$	E_b/N_0 при $BER = 5 \times 10^{-2}$	$S (conv)$ при $BER = 10^{-4}$
1 итерация	4,25	3,5	2,55	0,35	0,4
2 итерации	2,75	2,25	1,65	0,0	1,9
4 итерации	2,0	1,65	1,15	0,0	2,6
8 итераций	1,85	1,45	1,025	0,0	2,75
16 итераций	1.75	1.4	1.0	0.0	2,85

На рис. 6 представлены характеристики турбокода при различных алгоритмах декодирования и использовании в его составе случайного перемежителя размером 1000 бит. Анализ показывает, что характеристики $Max\ Log\ MAP$ и Sova алгоритмов несколько хуже алгоритмов MAP и $Log\ MAP$ — при $BER = 10^{-4}$ приблизительно на $0.1\ {\rm д}Б$ и $0.6\ {\rm d}Б$ соответственно.

VI Выводы

Рассмотренные характеристики показывают некоторое преимущество турбокодов перед известными блочными и сверточными корректирующими кодами и, поэтому, являются более предпочтительными при проектировании перспективных специальных телекоммуникационных систем.

Литература: **1.** Варгаузин В., Протопопов Л. Турбокоды и итеративное декодирование: принципы, свойства, применение // TeleMultiMedia № 4(4), 2000. — С. 7-10. **2.** Банкет В. Л., Прокопов С. Д., Постовой А. Г., Топорков Ф. В. Алгоритм кодирования / декодирования турбокодов // 3в'язок.. — 2004. — № 4. — С. 45 - 46. **3.** Pyndian R., Glavieux A., Picart A., Jacq S. Near optimum decoding of product codes // in Proc. IEEE

Conf. Globecom-94. — 1994. — San Francisco. — CA. — November. — P. 339-343. 4. Barbulescu A., Pietrobon S. Turbo Codes: a tutorial on a new class of powerful error correcting coding schemes. Part I: Code Structures and Interleaver Design // University of South Australia, 1998. — October. — P. 1 —22. 5. Berrou C., Glavieux A., Thitimajshima P. Near Shannon Limit Error-Correcting Coding and Decoding: Turbo-Codes // Proc. Int. Conf. On Commun., ICC-93. — Geneva, 1993. — May. — P. 1064 — 1070. 6. Hokfelt J., Edfors O., Maseng T. Interleaver Design for turbo codes based on the perfomance of iterative decoding // P. 1 — 5. 7. Банкет В. Л., Прокопов С. Д., Постовой А. Г., Топорков Ф. В. Экспериментальное исследование процедур кодирования / декодирования турбокодов // Зв'язок. — 2004. — № 6. — С. 57-58. 8. Ливенцев С. П., Алексеев Д. А., Зайцев С. В. Анализ характеристик перемежителей, используемых в турбокодах // Зв'язок. — 2005. — № 3. — С. 57-61. 9. Qi J. Turbo code in IS-2000 code division multiple access communications under fading // Wichita State University. — 1999. P. 9-16. 10. Woodard J., Hanzo L. Comparative Study of Turbo Decoding Techniques: An Overview // IEEE Transactions on Vehicular Technoligy, Vol. 49, No. 6, 2000. - November. P. 2208 — 2232. 11. Robertson P., Villebrun E., Hoeher P. A comparison of optimal and sub-optimal MAP decoding algorithms operating in the log domain // in Proc. Int. Conf. on Commun., ICC-95. — 1995. — June. — P. 1009-1013.

УДК 681.3.06

ВЫСОКОСКОРОСТНОЙ UMAC АЛГОРИТМ

Геннадий Халимов

Харковский национальний университет радиоэлектроники

Анотація: Розглядається високошвидкісний UMAC алгоритм, характеристики, параметри та оцінка таємності.

Suumary: The high-speed UMAC algorithm, characteristics, parameters and an estimation of privacy are considered.

Ключевые слова: UMAC алгоритм, универсальные хеш-функции.

І Введение

UMAC алгоритм, известный в модификациях UMAC (1999) [1] и UMAC (2000) [2], представлен проекту NESSIE как программно ориентированный для реализации на современных операционных платформах и обеспечивает чрезвычайно высокую скорость вычислений. Разработчики UMAC преследовали две главные цели:

- ✓ высокую скорость вычислений;
- ✓ доказуемую секретность.

Решение этих задач оказалось возможным на основе применения композиционной схемы с многократным универсальным хешированием и криптографическим вычислением тега аутентификации.

Задачей данной статьи является анализ основных характеристик UMAC кодов, изложение алгоритма построения и оценка секретности. С этой целью в разделе 2 приводятся основные определения универсальных хеш-функций UMAC реализации. В разделе 3 рассматриваются версии алгоритма UMAC (1999) и UMAC (2000). В разделе 4 оценена секретность UMAC схемы.

II Определения универсальных хеш-функций UMAC реализации

Алгоритм UMAC является композиционной схемой универсального хеширования. Коды подлинности сообщений, основанные на универсальном хешировании, используют определение семейства хешфункций [3].

Определение 1. $H=\{h\colon D{\to}R\}$ есть семейство хэш-функций с общей областью определения D и конечным диапазоном значений R.

МАС коды являются отображением H: $K \times D \to R$, где $h = H_K$: $D \to R$ – функция, определенная для каждого $K \in K$ с заданным распределением на H. Основные универсальные семейства хэш-функций имеют следующие представления.

1. Н является универсальным семейством хэш-функций (ε -U), если для всех х \neq у \in D,

$$Pr_{h\in H}[h(x)=h(y)]=\varepsilon, \varepsilon=1/|R|$$
.

2. Н является Δ -универсальным семейством хэш-функций (ε- ΔU), если для всех х≠у ∈ D и всех а ∈ R, $\Pr_{h \in H} \lceil h(x) - h(y) = a \rceil = \epsilon, \ \epsilon = 1 / \mid R \mid .$